

X 射线吸收谱对 $\text{Ga}_{0.946}\text{Mn}_{0.054}\text{As}$ 薄膜中缺陷的研究*

乔媛媛 肖正国 曹先存 郭浩民 史同飞[†] 王玉琦

(中国科学院固体物理研究所材料物理重点实验室, 合肥 230031)

(2010 年 3 月 4 日收到; 2010 年 4 月 12 日收到修改稿)

采用低温分子束外延法(LT-MBE)制备出 $\text{Ga}_{0.946}\text{Mn}_{0.054}\text{As}$ 稀磁半导体(DMS)薄膜. 通过 X 射线吸收谱(XAS)研究影响 $\text{Ga}_{0.946}\text{Mn}_{0.054}\text{As}$ 薄膜性质的主要缺陷 Mn 间隙原子(Mn_i)和 As 反位原子(As_{Ga}). 实验结果表明, 在较低生长温度($T_s = 200^\circ\text{C}$)下 $\text{Ga}_{0.946}\text{Mn}_{0.054}\text{As}$ 晶格中缺陷分布以 As 反位原子(As_{Ga})为主; 较高生长温度($T_s > 230^\circ\text{C}$)时样品中主要缺陷是 Mn 间隙(Mn_i)原子. 同时, 在较高低温退火温度(250°C)下可以使样品内部 Mn_i 向表面大量析出, 减少反铁磁相, 达到最高居里温度(130 K). XAS 结果还表明, 退火可以使得表面的 As_{Ga} 缺陷脱附, 驱动周围的 Mn_i 原子填补 As_{Ga} 缺陷留下的空位, 提高 Mn_{Ga} 原子浓度.

关键词: $\text{Ga}_{0.946}\text{Mn}_{0.054}\text{As}$ 稀磁半导体, X 射线吸收谱, As 反位缺陷, Mn 间隙原子

PACS: 61.05. c⁻, 61.05. cj, 74.62. Dh

1. 引言

稀磁半导体(DMSs)是通过在普通半导体材料中注入少量磁性离子,使其具有铁磁性的一种功能材料. 它能同时操控电子的电荷和自旋两种属性,是自旋电子学的基础材料,因此 DMSs 的研究受到了广泛的关注^[1-3]. III-V 体系的(Ga, Mn)As 材料具有良好的半导体性能、较高的载流子浓度,同时其铁磁性来源可以较好的用类 RKKY 理论来解释^[3],是目前最有可能实现自旋电子学器件实用化的材料,在实验室中被普遍用来设计制备各种自旋电子学器件^[4, 5].

(Ga, Mn)As 材料自 1996 年被发现是一种具有较高居里温度的 DMS 材料以来,人们一直都试图进一步提高其居里温度(T_c),以期实现室温铁磁性. 目前采用低温退火方法处理的(Ga, Mn)As 材料, T_c 已上升到 170 K 以上^[6],但与实用所要求依然相差甚大. 在之前的工作中,我们已发现(Ga, Mn)As 材料中 Mn 间隙原子^[7, 8]、As 反位原子^[8]等缺陷的不同分布,会使材料的结构与磁性发生明显改变;通

过反射光谱发现了(Ga, Mn)As 材料中空穴浓度与制备条件依赖关系^[9]. 同时文献[10]与文献[11]也从自旋弛豫效应以及理论计算上研究发现 Mn 间隙原子能够降低(Ga, Mn)As 体系的 T_c . 在这些基础上深入理解(Ga, Mn)As 材料的结构特性,探讨由于制备条件变化带来的结构差异和缺陷影响等因素^[12],对于理解掺杂原子的周围结构与磁性之间的关系,指导下一步的实验工作尤为重要. 因此本工作采用分子束外延设备(MBE),通过精确控制生长和退火温度获得两个系列的(Ga, Mn)As 薄膜样品. 通过 X 射线吸收谱(XAS)研究(Ga, Mn)As 薄膜的结构变化,尤其是系统的研究替代位 Mn 原子(Mn_{Ga})、间隙位 Mn 原子(Mn_i)与 As 反位原子(As_{Ga})缺陷随生长、退火条件改变而发生的变化.

2. 制备与测试

采用 Riber-32 型分子束外延设备,利用非平衡态低温 MBE 生长法(LT-MBE),制备所需 $\text{Ga}_{0.946}\text{Mn}_{0.054}\text{As}$ 薄膜样品. 具体步骤如下:将清洗洁净后的 GaAs 衬底,装入预处理室加热到 200°C 除气 0.5

* 中科院知识创新工程青年人才领域前沿项目基金(084N541121)资助的课题.

[†] 通讯联系人. E-mail: tongfeishi@gmail.com

h;送入生长室,在As束流的保护下缓慢升温到580℃,利用热脱附获得洁净的表面;待氧化层被完全除去后,在600℃左右生长一层高温GaAs缓冲层,得到平整的表面;降低衬底温度生长一层5nm的低温GaAs作为隔离层;在隔离层上制备30nm左右的Ga_{0.946}Mn_{0.054}As材料(生长速率保持在0.6μm/h);最后在Ga_{0.946}Mn_{0.054}As层生长结束后,覆盖一层~10Å的低温GaAs保护层.整个生长过程中As/Ga束流比恒定在6:1,Mn的掺杂浓度固定为5.4%.在非掺杂半绝缘GaAs(100)衬底上,在不同生长温度($T_s = 200, 230, 280$ ℃)下制备出第一系列的Ga_{0.946}Mn_{0.054}As薄膜,标记为1[#],2[#],3[#].将230℃的样品切割成小块,在高纯N₂保护气氛中、不同的LT-退火温度($T_A = 150, 200, 250$ ℃)下退火1h,得到第二系列的Ga_{0.946}Mn_{0.054}As薄膜样品,原位样品标记为4[#],其余依次标记为5[#],6[#],7[#].

XAS谱的测量是在国家同步辐射实验室(合肥)的软X射线磁圆二色站(XMCD)进行的.能量范围在100—1000eV之间,光通量量级在10⁸photons/s,分辨率为 $E/\Delta E = 1000$,光斑尺寸3

×1mm².

3. 结果与讨论

在图1中给出了Ga_{0.946}Mn_{0.054}As样品系列一和系列二的电阻率与温度($\rho-T$)变化关系.由于 $\rho-T$ 曲线中电阻率的峰值对应的温度就是样品的 T_C ^[13],可以发现Ga_{0.946}Mn_{0.054}As各样品在电阻率和 T_C 上表现出很大的区别.如图1(a)中 $T_s = 200$ ℃的1[#]样品虽然也表现出铁磁性,但其电阻率 ρ 显示此时样品是绝缘的,而在较高 T_s 下制备的2[#],3[#]样品低温下表现出金属导电性.同时随着 T_s 的升高,3[#]样品的 T_C 在70K左右,也要略高于2[#]样品的66.83K.在图1(b)中退火后的曲线上,这一差别更加明显. $T_s = 230$ ℃的4[#]样品在经过250℃退火后得到的7[#]样品的 T_C 提高到了133.70K,样品电阻率也大幅降低.为了揭示造成样品 T_C 以及 ρ 改变的因素,我们采用XAS谱图对Ga_{0.946}Mn_{0.054}As不同条件下生长的样品的结构进行解析.

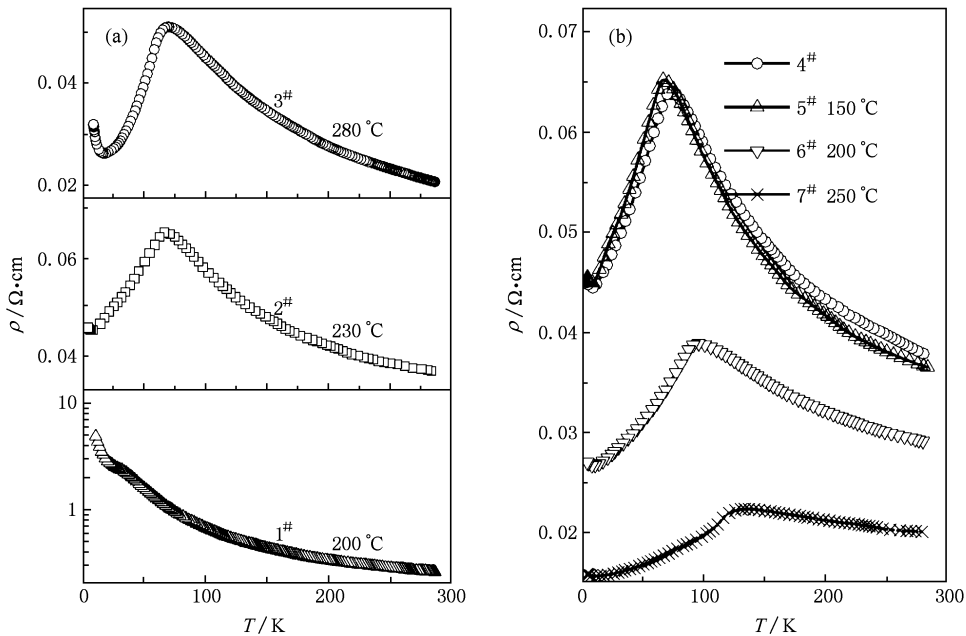


图1 (a) 1[#],2[#],3[#]原位样品的 $\rho-T$ 关系曲线;(b) 4[#]原位样品以及退火后5[#],6[#],7[#]样品的 $\rho-T$ 关系曲线

图2(a)中给出了不同生长温度下,原位生长的Ga_{0.946}Mn_{0.054}As样品中Mn元素 L_{III} 边的XAS谱;在图2(b)中,给出原位样品4[#],以及不同退火温度处理后的样品中Mn元素的 L_{III} 边XAS对比谱.需要指出的是,图2(b)中所有样品测量前均用浓盐酸浸泡

30s,去除保护层和氧化层.对比图2(a)和(b)中的实验曲线,可以发现不同样品的 L_{III} 峰的强度和形状随着生长和退火温度的不同有明显的变化.考虑到Ga_{0.946}Mn_{0.054}As样品的Mn的掺杂浓度恒定5.4%,可以排除是由Mn浓度的变化造成的.结合

之前的研究结果^[14] LT 生长模式会在 $\text{Ga}_{0.946}\text{Mn}_{0.054}\text{As}$ As 薄膜中引入大量的缺陷,因此本文将采用 Feff

8.4 软件^[15]模拟不同缺陷对 Mn 元素 L_{III} 边的影响. 与 XAS 实验谱对比,来揭示造成 Mn 元素 L_{III} 边曲线

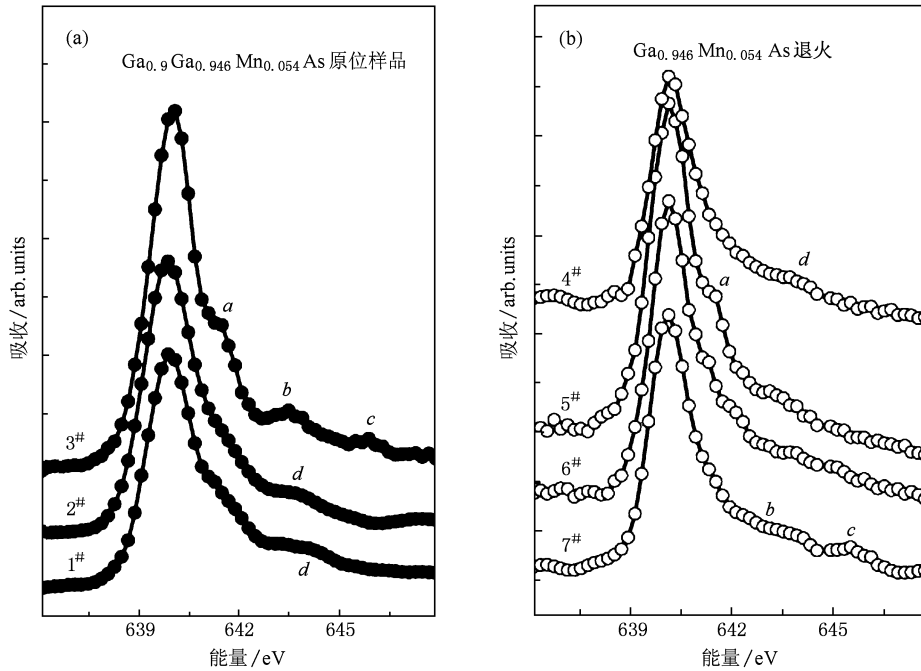


图2 $\text{Ga}_{0.946}\text{Mn}_{0.054}\text{As}$ 系列样品的 Mn L_{III} 边 XAS 归一化曲线 (a) 为 $\text{Ga}_{0.946}\text{Mn}_{0.054}\text{As}$ 样品 1[#], 2[#], 3[#] 的 Mn L_{III} 边 XAS 归一化曲线; (b) 为 $\text{Ga}_{0.946}\text{Mn}_{0.054}\text{As}$ 样品 4[#], 5[#], 6[#], 7[#] 的 Mn L_{III} 边 XAS 归一化曲线

随生长、退火条件变化的原因.

在图 3 中给出了不同缺陷模型下的计算与实验 XAS 谱的对比. “ Mn_{Ga} ”是指单纯以 Mn_{Ga} 为中心吸收原子、没有其他缺陷出现的模型,此时 XAS 计算谱中 L_{III} 边后出现了 b' , c' 两个峰结构. “ $\text{Mn}_{\text{Ga}} + 1\text{Mn}_1$ ”是指中心原子 Mn_{Ga} 邻近有 1 个 Mn_1 原子出现时的模型,此时的 XAS 计算谱表明 Mn 元素的 L_{III} 边位置向高能侧移动了大约 1.1 eV,形成了新的吸收峰 a' . “ $\text{Mn}_{\text{Ga}} + 1\text{As}_{\text{Ga}}$ ”是指在 Mn_{Ga} 中心吸收原子的次近邻中出现 1 个 As_{Ga} 缺陷的模型,此时 XAS 计算谱在 L_{III} 吸收峰右端只出现一个宽化的特征峰 d' .

将图 3 中计算 XAS 曲线与图 2 中实验 XAS 谱对比,可以发现“ Mn_{Ga} ”模型的 b' , c' 峰与 3[#], 7[#] 样品的实验曲线中的 b, c 峰符合得很好. 这说明在 LT 生长模式下,高 T_s 下制备的 $\text{Ga}_{0.946}\text{Mn}_{0.054}\text{As}$ 晶格畸变较小, Mn 元素主要以 Mn_{Ga} 原子形式存在于 $\text{Ga}_{0.946}\text{Mn}_{0.054}\text{As}$ 晶格中. 也说明在较高的低温退火温度下退火能有效地减少体系中的缺陷,提高 Mn_{Ga} 原子浓度.

对于在 3[#] 样品 Mn 的 L_{III} 吸收边高能侧出现的肩峰 a ,有文献^[7]简单的归结到 Mn 的氧化物上.

但是所依据的文献^[16]中金属 Mn 在纯氧气氛下钝化后,只在 a 峰的位置处出现隆起趋势,并没有明显的峰出现,这明显与 280 °C 下生长的 3[#] 样品 XAS 谱的特征不符合. 除此之外,图 2(a) 中 T_s 由低到高变化, a 峰也从无到有,逐渐增强. 考虑到所有的 $\text{Ga}_{0.946}\text{Mn}_{0.054}\text{As}$ 样品都是在超高真空下制备,制备过程中没有 O_2 的污染,样品表面的 GaAs 保护层也可以在大气中有效保护 $\text{Ga}_{0.946}\text{Mn}_{0.054}\text{As}$ 层不被氧化. 同时图 2(b) 中 5[#] 样品经过 150 °C 退火处理后,再经酸洗去除氧化层后,仍然有 a 峰的出现. 综上,可以推断 a 峰的来源应与 Mn 的氧化物无关,而是随着制备条件的不同 $\text{Ga}_{0.946}\text{Mn}_{0.054}\text{As}$ 晶格结构的改变而导致. 对比图 3 “ $\text{Mn}_{\text{Ga}} + 1\text{Mn}_1$ ”模型中, Mn 元素的 L_{III} 边位置向高能侧移动了大约 1.1 eV,与 a 峰的位置非常符合. 由此可以判定 a 峰的出现是由于大量的 Mn_1 原子在表面富集所造成的.

在我们之前的工作中^[7],报道了 Mn_1 缺陷在退火过程中会向样品表面析出. 而图 2(a) 中 a 峰的出现以及变化表明在生长过程中 Mn_1 同样也会向表面偏析. 在温度较低时 ($T_s \leq 230^\circ\text{C}$), Mn_1 原子没有足够的能量脱出晶体内部,因此在原位生长的 1[#], 2[#]

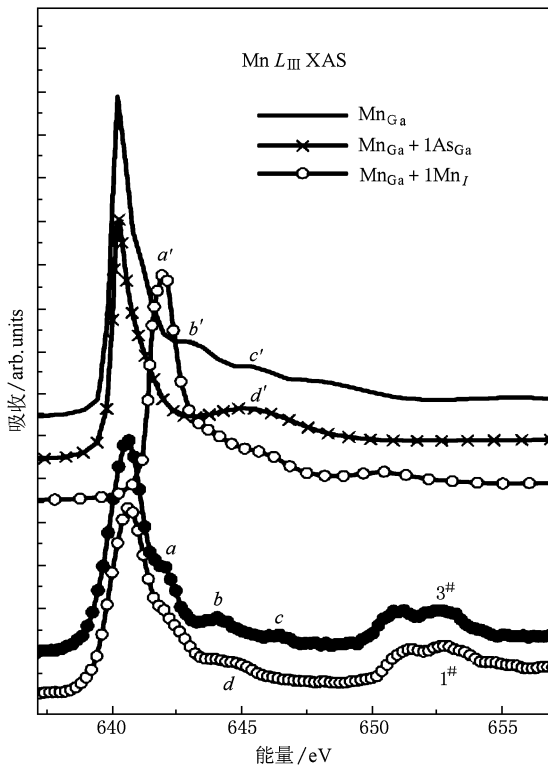


图3 Mn L_{III} 边 XAS 吸收谱与 $T_s = 200, 280$ °C 原位生长的实验谱(采用 Feff8.2 程序给出的 Mn L_{III} 边 XAS 吸收谱与 1[#], 3[#] 原位生长的实验谱的对比. 其中 Mn_{Ga} 计算谱表示晶格中只含有 Mn 替代位原子的理想状况; $Mn_{Ga} + 1As_{Ga}$ 计算谱表示在 Mn_{Ga} 吸收中心原子的次近邻出现一个 As_{Ga} 原子; $Mn_{Ga} + 1Mn_I$ 计算谱表示在 Mn_{Ga} 中心原子最近邻出现一个 Mn_I 原子)

的 $Ga_{0.946}Mn_{0.054}As$ 薄膜表面并没有发现 Mn_I 明显的富集;随着生长温度的提高 ($T_s > 230$ °C), Mn_I 原子的能量超过阈值开始大量的向表面析出. 也就是说, 较高 T_s 生长的 $Ga_{0.946}Mn_{0.054}As$ 薄膜内层 Mn_I 浓度较低, 较低 T_s 下薄膜内层 Mn_I 浓度较高.

图 2(a) 中, 低温条件下生长的 1[#], 2[#] 样品中 L_{III} 边 XAS 谱中没有观测到 b, c 峰的出现, 取而代之的是在 b, c 峰的位置附近出现了一个新的峰 d , 同时也没有 a 峰的出现, 表明此时样品结构与 $T_s = 280$ °C 时 3[#] 样品大量 Mn_I 缺陷出现或理想状态下 $Ga_{0.946}Mn_{0.054}As$ 中只有 Mn_{Ga} 原子出现的情况都有差异. 对比图 3 中给出的“ $Mn_{Ga} + 1As_{Ga}$ ”模型的 XAS 计算谱, 此时在 Mn 的 L_{III} 吸收峰的右端只出现了一个峰 d' , 其位置、相对强度以及展宽都和 1[#] 样品实验曲线符合得很好. 这一结果强有力的证明: 在较低生长温度 ($T_s \leq 230$ °C) 制备的样品中存在大量 As_{Ga} 缺陷. 这是由于低温生长会降低 As 原子的表面迁移和

脱附能. 在富 As 生长条件下, 部分过量的 As 原子会占据晶格中 Ga 的位置形成 As_{Ga} 缺陷. 图 2(a) 中峰 d 随着 T_s 的逐渐升高, 迅速变弱并被 b, c 峰取代. 这说明 As_{Ga} 缺陷的浓度在 $Ga_{0.946}Mn_{0.054}As$ 薄膜的生长过程中随着 T_s 升高而迅速衰减. 在 $T_s = 280$ °C 生长的 3[#] 样品的 XAS 谱中已经看不出有大量 As_{Ga} 缺陷存在的痕迹.

图 2(b) 中, 可以发现在 150 °C 低温退火的 5[#] 样品曲线上也有 a 峰的出现. 随着退火温度的提高, a 峰强度逐渐变弱, 样品 7[#] 中 a 峰已经消失. 结合之前的研究结果: 低温退火可以打破 $Mn_{Ga}-Mn_I$ 反铁磁对, 使 Mn_I 向薄膜表面迁移^[7]. 因此, 这一现象表明: Mn_I 的析出与低温退火温度紧密关联. 在较低的退火温度下 (150 °C), Mn_I 缺陷虽然有向表面移动的趋势, 但是没有足够的能量使得大量 Mn_I 从晶格内部向表面富集. 因此在酸洗过后, 在 5[#] 样品表面发现了 Mn_I 的存在. 随着退火温度的提高, Mn_I 原子得到足够的能量离开原位向表面富集, 使得表面 Mn_I 原子浓度提高、内层浓度降低. 经过酸洗去除表面层后, XAS 测量到的 Mn_I 原子信号必然降低, 所以在 7[#] 样品的表层没有发现 Mn_I 的存在. 这一结果也与文献[17]和我们之前的工作^[7] 符合. 在 250 °C 退火后的 7[#] 样品 XAS 曲线上没有 a 峰的出现, 却有明显的 b, c 双峰结构, 与图 3 中单纯只有 Mn_{Ga} 出现的理论曲线非常符合. 这说明此时样品中 As_{Ga}, Mn_I 等双施主杂质浓度被降到最低, $Ga_{0.946}Mn_{0.054}As$ 层晶格结构非常完好.

进一步与图 3 中的计算 XAS 谱对比, 在 $T_s = 230$ °C 原位生长的 $Ga_{0.946}Mn_{0.054}As$ 薄膜 4[#] 中明显有大量的 As_{Ga} 缺陷原子存在. 而在 150 °C 低温退火之后, 只能观测到 Mn_{Ga} 原子和 Mn_I 缺陷叠加的信号. 这表明 150 °C 退火 1 h 后, XAS 信号所来源的近表面区域中, 表层 As_{Ga} 缺陷已从晶格脱附, 此时 $Ga_{0.946}Mn_{0.054}As$ 晶格表层区域中 As_{Ga} 缺陷的影响被极大的削弱. 这点可以从以下方面得到辅证: 退火后的样品 L_{III} 吸收峰的强度有明显增强. 归一化后 XAS 中 L_{III} 峰的强度和 $Ga_{0.946}Mn_{0.054}As$ 中 Mn_{Ga} 原子浓度直接关联^[7], 在样品的 Mn 掺杂浓度恒定的情况下, 这必然是退火使部分的 Mn_I 原子离开间隙位置, 占据 As_{Ga} 缺陷脱附后留下的 Ga 空位形成了新的 Mn_{Ga} 原子, 从而提高了 Mn_{Ga} 原子浓度, 增强了 L_{III} 吸收峰的强度.

综合上述各样品的结构信息, 并结合图 1, 可以

发现原位生长的系列样品中:200 °C 低温生长的 1[#] 样品中存在大量的 As_{Ga} 缺陷,因此极大的降低了体系的载流子浓度,使得 1[#] 样品在低温下表现出绝缘体行为. 随着生长温度的提高,2[#],3[#] 样品中 As_{Ga} 缺陷浓度被大幅降低,体系载流子浓度得以提高降低了电阻率,表现出金属导电行为. 分析结果还表明,较高 T_s 生长的样品内层 Mn_I 浓度较低,较低 T_s 下生长的样品内层 Mn_I 浓度较高. 另一方面,样品内层的 Mn_I 可以与 Mn_{Ga} 原子形成反铁磁 Mn_{Ga}-Mn_I 原子对,降低体系的铁磁性^[7]. 这可以很好的解释图 1 中 280 °C 制备的 3[#] 样品的 T_c (~ 70 K) 略高于 2[#] 样品的 T_c (~ 67 K) 的现象. 对于低温退火系列的样品,由于 150 °C 低温退火不能使大量内层 Mn_I 原子迁移到表面,As_{Ga} 原子的脱附也仅仅局限于样品的表面,因此 5[#] 样品 ρ-T 曲线变化非常小, T_c 和电阻率几乎没有变化. 随着退火温度的提高, Mn_I 原子得到足够的能量离开原位向表面富集,使得表面 Mn_I 原子浓度提高、内层浓度降低,6[#],7[#] 样品中载流子

浓度大幅增加,相应的图 1 中它们的电阻率大幅下降. 同时由于体系的 Mn_{Ga}-Mn_I 反铁磁对被打破^[7], 6[#],7[#] 样品的 T_c 也大幅上升. 由于 7[#] 样品的 XAS 曲线表明此时 As_{Ga}, Mn_I 等双施主杂质浓度被降到最低,因此样品的 T_c 也达到最高值 133.70 K.

4. 结 论

综上所述,LT-MBE 制备的 Ga_{0.946}Mn_{0.054}As 材料的 XAS 谱分析结果表明:在较低 T_s 条件下 Ga_{0.946}Mn_{0.054}As 中以 As_{Ga} 缺陷为主;较高 T_s 条件下,样品中缺陷主要是 Mn_I 原子. 在较高温度(250 °C)下退火,可以驱使样品内部 Mn_I 缺陷原子向表面大量富集. 从而降低材料内部 Mn_I 缺陷浓度,减少反铁磁相, Ga_{0.946}Mn_{0.054}As 样品此时获得 130 K 以上的最高 T_c. 同时,退火可以使得 As_{Ga} 缺陷脱附,并驱动周围的 Mn_I 原子填补 As_{Ga} 的空位,提高 Mn_{Ga} 原子浓度.

- [1] Ohno H, Shen A, Matsukura F, Oiwa A, Endo A, Kataumoto S, Iye Y 1996 *Appl. Phys. Lett.* **69** 363
- [2] Dietl T 2008 *J. Appl. Phys.* **103** 07D111-1
- [3] Ohno H 1998 *Science* **281** 951
- [4] Valenzuela S O, Tinkham M, Tinkham M 2007 *J. Appl. Phys.* **101** 09B103-1
- [5] Van't Erve O M J, Hanbicki A T, Holub M, Li C H, Awo-Affouda C, Thompson P E, Jonker B T 2007 *Appl. Phys. Lett.* **91** 212109-1
- [6] Nazmul Ahsan M, Sugahara S, Tanaka M 2003 *Phys. Rev. B* **67** 241308-1
- [7] Ji C J, Cao X C, Han Q F, Qiu K, Zhong F, Li X H 2007 *Appl. Phys. Lett.* **90** 232501
- [8] Ji C J, He H T, Cao X C, Qiu K, Zhong F, Li X H, Han Q F, Xu F Q, Wang J N, Wang Y Q 2007 *Europhys. Lett.* **78** 57006
- [9] Luo X D, Ji C J, Wang Y Q, Wang J N 2008 *Acta Phys. Sin.* **57** 5277 (in Chinese) [罗向东、姬长健、王玉琦、王建农 2008 物理学报 **57** 5277]
- [10] Liu X D, Wang W Z, Gao R X, Zhao J H, Wen J H, Lin W Z, Lai T S 2008 *Acta Phys. Sin.* **57** 3857 (in Chinese) [刘晓东、王玮竹、高瑞鑫、赵建华、文锦辉、林位株、赖天树 2008 物理学报 **57** 3857]
- [11] Liu G B, Liu B G 2009 *Chin. Phys. B* **18** 5047
- [12] Zhong Y J, Cheng S C, Su P, Gong M, Shi R Y, Cao X C, Shi T F 2009 *The Journal of Light Scattering* **21** 3 (in Chinese) [钟玉杰、程顺昌、苏平、龚敏、石瑞英、曹先存、史同飞 2009 光散射学报 **21** 3]
- [13] He H C, Yang L, Ge W K, Wang J N, Dai X, Wang Y Q 2005 *Appl. Phys. Lett.* **87** 162506
- [14] Sadowski J, Domagala J Z 2004 *Phys. Rev. B* **69** 075206-1
- [15] Ankudinov A L, Ravel B, Rehr J J, Conradson S D 1998 *Phys. Rev. B* **58** 7565
- [16] Yonamoto Y, Yokoyama T, Amemiya K, Matsumura D, Ohta T 2001 *Phys. Rev. B* **63** 214406-1
- [17] Yu K M, Walukiewicz W, Wojtowicz T, Denlinger J 2005 *Appl. Phys. Lett.* **86** 042102

The study of defects in $\text{Ga}_{0.946}\text{Mn}_{0.054}\text{As}$ by X-ray absorption spectra*

Qiao Yuan-Yuan Xiao Zheng-Guo Cao Xian-Cun Guo Hao-Min Shi Tong-Fei[†] Wang Yu-Qi

(Key Laboratory of Materials Physics, Institute of Solid State Physics, Chinese Academy of Sciences, Hefei 230031, China)

(Received 4 March 2010; revised manuscript received 12 April 2010)

Abstract

The influence of the major compensating defects As antisites (As_{Ga}) and Mn interstitials (Mn_{I}) in the $\text{Ga}_{0.946}\text{Mn}_{0.054}\text{As}$ diluted magnetic semiconductor (DMS) were studied by X-ray absorption spectra (XAS). The experimental results show that the defects in $\text{Ga}_{0.946}\text{Mn}_{0.054}\text{As}$ grown at lower temperature ($T_s = 200^\circ\text{C}$) is mainly As_{Ga} , but at $T_s > 230^\circ\text{C}$ Mn_{I} is the major defects. On the other hand, a higher LT-annealing temperature (250°C) can remove Mn_{I} out of the $\text{Ga}_{0.946}\text{Mn}_{0.054}\text{As}$ lattice, and the highest Curie temperature ($T_c = 130\text{ K}$) is reached. Moreover, it is indicated that the LT-annealing process can increase the number of Mn_{Ga} atoms by reducing the concentration of As_{Ga} defects and driving Mn_{I} defects to fill up the holes left by As_{Ga} .

Keywords: $\text{Ga}_{0.946}\text{Mn}_{0.054}\text{As}$ diluted magnetic semiconductor, X-ray absorption spectra, As antisites, Mn interstitials

PACS: 61.05. c⁻, 61.05. cj, 74.62. Dh

* Project supported by the Knowledge Innovation Program of the Chinese Academy of Sciences (Grant No. 084N541121).

[†] Corresponding author. E-mail: tongfeishi@gmail.com